

I-4 弾性支承上PC格子桁の横方向プレストレッシングによる二次応力について

北海道工業大学 正員 猪又 稔

1. まえがき

横方向緊張索が偏心して配置されているPC格子桁において、プレストレッシングによる不静定力が横析のアーチストレス、主析の曲げモーメント、主析の支点反力等にあらわす影響については、さきに剛支点および弾性沈下の可能性のある張出橋脚やラーメン橋脚に支持されたPC格子桁の代表的数例について解析を行いその影響範囲をあきらめた。

本研究ではさらにPC格子桁がゴム支承のような弾性沈下の大きいと思われる支承に支持される場合は、横方向プレストレッシングによる二次的な応力が非常に小さくなることも予想されるので、これについて検討を行ったものである。

2. 解析理論

いま図～1のように端横析と3本の中間横析からなる格子桁が弾性支承に支持される場合、横方向プレストレッシングによる横析の節点モーメント（図～2）を求めると式は文献からつきのようになる。ただし各弾性支承の鉛直バネ定数は等しいものとする。

$$\begin{aligned} & {}^{(1)}(M_{r,r-1} - M_{r,r+1}) + 2{}^{(2)}(M_{r,r-1} - M_{r,r+1}) \\ & + {}^{(3)}(M_{r,r-1} - M_{r,r+1}) = 0 \\ & r = 1 \sim n \end{aligned} \quad (1)$$

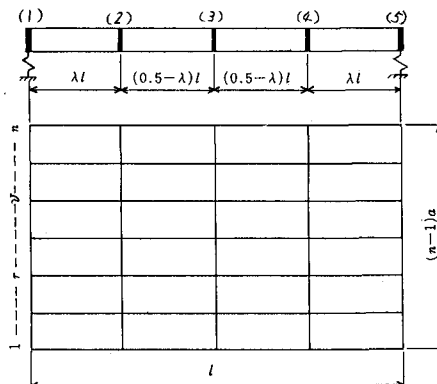
$$\begin{aligned} & {}^{(1)}(M_{r-1,r} + 2M_{r,r-1} + 2M_{r,r+1} + M_{r+1,r}) \\ & + \beta^r(M_r + {}^{(1)}M_r + 0.5{}^{(2)}M_r) = -6P_e e \\ & r = 2 \sim (n-1) \end{aligned} \quad (2)$$

ここに

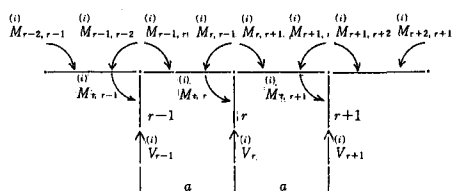
$$\begin{aligned} M_r &= M_{r-2,r-1} - M_{r-1,r-2} - 3M_{r-1,r} + 3M_{r,r-1} \\ & + 3M_{r,r+1} - 3M_{r+1,r} - M_{r+1,r+2} + M_{r+2,r+1} \end{aligned}$$

$$\begin{aligned} & 2\alpha{}^{(1)}M_{r,r+1} + \alpha{}^{(2)}M_{r+1,r} + \beta_1{}^{(1)}M_{r-1,r} - (\beta_1 - 2\mu_1){}^{(1)}M_{r,r-1} \\ & - 2(\beta_1 + \mu_1 + 1){}^{(2)}M_{r,r+1} + (2\beta_1 - 1){}^{(2)}M_{r+1,r} + \beta_2{}^{(3)}M_{r+1,r+2} \\ & - \beta_2{}^{(1)}M_{r+2,r+1} + \beta_2{}^{(2)}M_{r+1,r} - (\beta_2 - \mu_1){}^{(3)}M_{r,r-1} - (2\beta_2 + \mu_1){}^{(1)}M_{r,r+1} \\ & + 2\beta_2{}^{(2)}M_{r+1,r} + \beta_2{}^{(3)}M_{r+1,r+2} - \beta_2{}^{(1)}M_{r+2,r+1} = 3(P_e - \alpha P_e) \end{aligned}$$

$$r = 1 \sim (n-1) \quad (3)$$



図～1 格子桁一般図



図～2 横析(r)に作用する力

$$\begin{aligned}
& \alpha \overset{(i)}{M}_{r-1,r} + 2\alpha \overset{(i)}{M}_{r,r-1} - \beta_r \overset{(i)}{M}_{r+1,r-1} + \beta_r \overset{(i)}{M}_{r-1,r+2} + (2\beta_r - 1) \overset{(i)}{M}_{r,r,r} - 2(\beta_r + \mu_r + 1) \overset{(i)}{M}_{r,r+1} \\
& - (\beta_r - 2\mu_r) \overset{(i)}{M}_{r,r+1} + \beta_r \overset{(i)}{M}_{r+1,r} - \beta_r \overset{(i)}{M}_{r+2,r-1} + \beta_r \overset{(i)}{M}_{r-1,r-2} + 2\beta_r \overset{(i)}{M}_{r+1,r} - (2\beta_r + \mu_r) \overset{(i)}{M}_{r,r-1} \\
& - (\beta_r - \mu_r) \overset{(i)}{M}_{r,r+1} + \beta_r \overset{(i)}{M}_{r+1,r} = 3(\overset{(i)}{P}e - \alpha \overset{(i)}{P}e)
\end{aligned}$$

$r = 2 \sim n$ (4)

$$\begin{aligned}
& 2\alpha \overset{(i)}{M}_{r,r+1} + \alpha \overset{(i)}{M}_{r+1,r} + 2\beta_r \overset{(i)}{M}_{r+1,r} - 2(\beta_r - \mu_r) \overset{(i)}{M}_{r,r-1} - 2(2\beta_r + \mu_r) \overset{(i)}{M}_{r,r+1} + 4\beta_r \overset{(i)}{M}_{r,r+2} \\
& + 2\beta_r \overset{(i)}{M}_{r+1,r+2} - 2\beta_r \overset{(i)}{M}_{r+2,r+1} + \beta_r \overset{(i)}{M}_{r+1,r} - (\beta_r - \mu_r) \overset{(i)}{M}_{r,r-1} - (2\beta_r + \mu_r + 2) \overset{(i)}{M}_{r,r+1} \\
& + (2\beta_r - 1) \overset{(i)}{M}_{r+1,r} + \beta_r \overset{(i)}{M}_{r+1,r+2} - \beta_r \overset{(i)}{M}_{r+2,r+1} = 3(\overset{(i)}{P}e - \alpha \overset{(i)}{P}e)
\end{aligned}$$

$r = 1 \sim (n-1)$ (5)

$$\begin{aligned}
& \alpha \overset{(i)}{M}_{r-1,r} + 2\alpha \overset{(i)}{M}_{r,r-1} - 2\beta_r \overset{(i)}{M}_{r+1,r-1} + 2\beta_r \overset{(i)}{M}_{r+1,r+2} + 4\beta_r \overset{(i)}{M}_{r,r,r} - 2(2\beta_r + \mu_r) \overset{(i)}{M}_{r,r+1} \\
& - 2(\beta_r - \mu_r) \overset{(i)}{M}_{r,r+1} + 2\beta_r \overset{(i)}{M}_{r+1,r} - \beta_r \overset{(i)}{M}_{r+2,r-1} + \beta_r \overset{(i)}{M}_{r+1,r+2} + (2\beta_r - 1) \overset{(i)}{M}_{r,r-1} \\
& - (2\beta_r + \mu_r + 2) \overset{(i)}{M}_{r,r+1} - (\beta_r - \mu_r) \overset{(i)}{M}_{r,r+1} + \beta_r \overset{(i)}{M}_{r+1,r} = 3(\overset{(i)}{P}e - \alpha \overset{(i)}{P}e)
\end{aligned}$$

$r = 2 \sim n$ (6)

ただし

$$\alpha = \frac{EI}{EI'}$$

$$\beta_r = \frac{6EI'}{\alpha^3 c}$$

$$\beta_r = \lambda^2 (3-4\lambda) \frac{EI}{EI_0} \left(\frac{l}{a} \right)^3$$

$$\beta_r = \frac{\lambda (3-4\lambda)}{8} \cdot \frac{EI}{EI_0} \left(\frac{l}{a} \right)^3$$

$$\beta_r = \frac{1}{8} \cdot \frac{EI}{EI_0} \left(\frac{l}{a} \right)^3$$

$$\mu_r = 3\lambda \cdot \frac{EI}{GJ} \cdot \frac{l}{a}$$

$$\mu_r = \frac{3}{2} \cdot \frac{EI}{GJ} \cdot \frac{l}{a}$$

ここで

$\overset{(i)}{M}$: 横析(i)の節点に働く二次曲げモーメント

l : 主析のスパン長

$\overset{(i)}{P}e$: 横析(i)のプレストレス力と緊張弦偏心距離との積

a : 主析間隔

EI : 中間横析の曲げ剛性

λ : 横析の偏心係数

EI' : 端横析の曲げ剛性

C : 弹性支承の剛直バネ定数

EI_0 : 主析の曲げ剛性

GJ : 主析のねじり剛性

式(1)～(6)の連立方程式をといて各横析の節点モーメントが求めれば横析(i)と主析の格点力 $\overset{(i)}{V}_r$ はつきようになる。

$$\overset{(i)}{V}_r = \frac{1}{a} \overset{(i)}{M} (M_{r-1,r} - M_{r,r-1} - M_{r,r+1} + M_{r+1,r})$$

(8)

3. 数値計算および考察

数値計算は表-1に示すModelについて行った。 α , β , μ の値は文献1)のModel 1～6を参考とし、また λ の値については文献2)にもとづいたゴム支承の設計例を参考として定めた。

(1) 橋脚のプレストレス

橋脚のプレストレス σ_{sp} は橋脚の断面積を A 断面係数を Z とし、また橋脚の二次曲げモーメントを M とすればつぎのようになる。

$$\sigma_{sp} = \frac{P}{A} + \frac{Pe}{Z} \gamma \quad (9)$$

ただし

$$\gamma = 1 + \frac{M}{Pe} \quad (10)$$

図へ3は中间横橋中央点の γ が無次元化した支承の鉛直バネ定数 μ によって γ のように変化するかを示したものである。 γ の値は端横橋緊張弦の偏心がない場合 ($\delta = 0$) と偏心がある場合 ($\delta = \pm \frac{\delta_0}{2}$ または δ_0) について求めた。

図に示すように端横橋緊張弦の偏心がない場合、中间横橋の γ は β 、 μ の値如何にかかわらず γ の影響はほとんどないが偏心のある場合の γ は β 、 μ が小さくなるほど γ の影響をうけることを示している。

(2) 主桁の曲げモーメント

図へ4は主桁2のスパン中央曲げモーメント $M_{2,58(2)}$ が μ によって γ のように変化するかを示したものである。 $M_{2,58(2)}$ の大きさは主として β の値に支配されるが、端横橋緊張弦の偏心がない場合、 β 、 μ の値如何にかかわらず γ の影響がほとんどないことがわかる。また偏心のある場合 ($\delta = \pm \frac{\delta_0}{2}$ または δ_0) の $M_{2,58(2)}$ が偏心のない場合の $M_{2,58(2)}$ に対する増減の割合は β 、 μ に実験的に関して一定となる。

(3) 主桁の支点反力

図へ5は主桁2の支点反力 $Q_{2,1}$ が μ によって γ のように変化するかを示したものである。 Q は中间横橋のプレストレスレッシングの影響をほとんど受けないので、 Q の大きさは Model A には偏心なくまた β 、 μ の値にもほとんど偏心なく端横橋のプレストレス力と偏心距離との積 $P\delta$ および μ によってきまる。

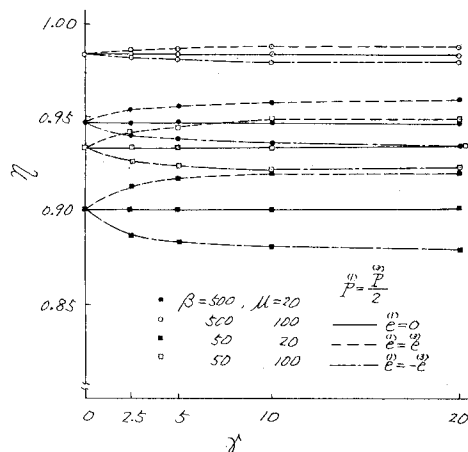
4. まとめ

(1) 中間横橋のプレストレスについては、端横橋緊張弦の偏心がない場合は弹性支承上格子桁の γ の値は剛支承上格子桁 ($\mu=0$) の値と比較してほとんど差異は認められなかった。(しかし端横橋緊張弦の偏心がある場合は、剛支承上格子桁の端横橋のプレストレスレッシングが中間横

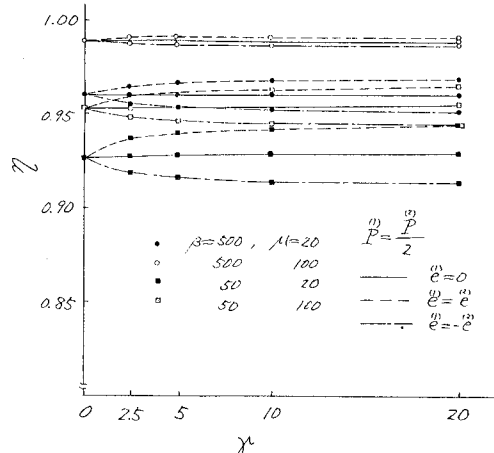
表へ1 計算用諸数値

種別	主桁数	中间横橋数	α	β	γ	μ	入
Model A	4	1	0.5	0~20	50~500	20~100	$\frac{\delta_0}{2}$
" B	4	2	"	"	"	"	$\frac{\delta_0}{3}$

$\alpha = \frac{EI}{EI'}$: 中間横橋と端横橋の曲げ剛性比
 $\beta = \frac{6EI'}{a^2 c}$: 無次元化した支承の鉛直バネ定数
 $\gamma = \left(\frac{l^3}{za} \right) \frac{EI}{E_s L}$: 格子曲げ剛度
 $\mu = \frac{l}{8a} \frac{EI}{GJ}$: 格子ねじり剛度
 入 : 橋脚間隔係数

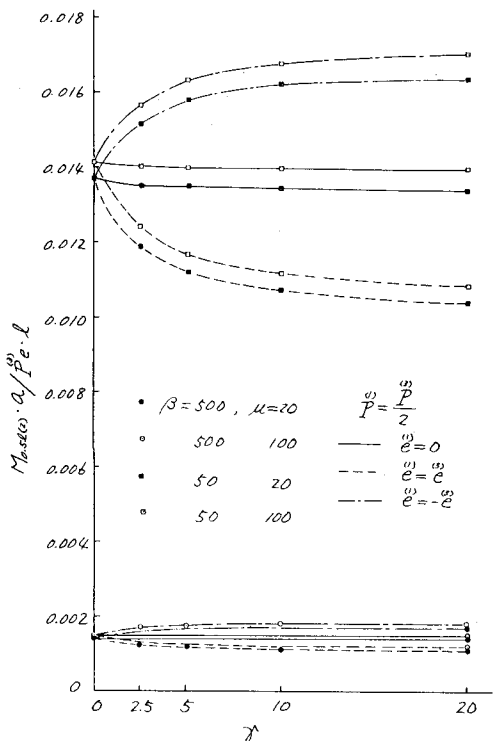


(a) Model A

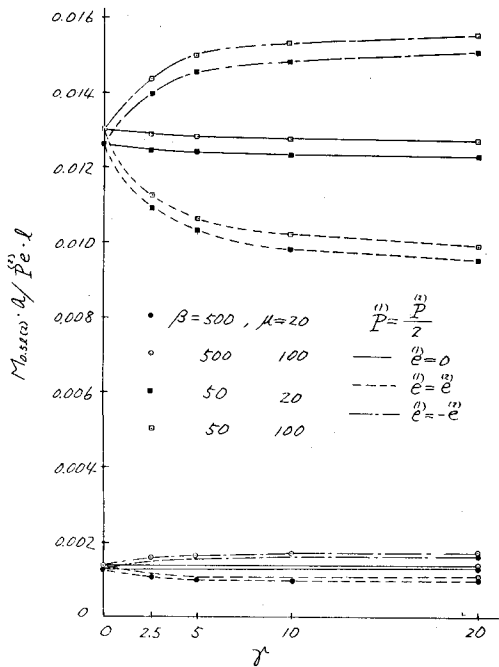


(b) Model B

図へ3 中間横橋の γ におよぼす μ の影響



(a) Model A



(b) Model B

図へ4 主桁の曲げモーメントにあよぼすγの影響

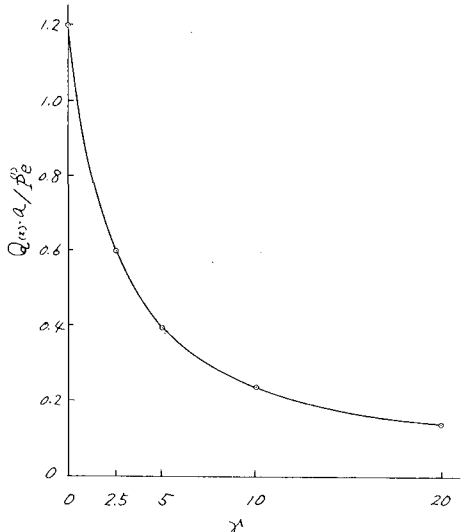
桁のプレストレスにあよぼす影響が微小なのに対して弾性支承上格子桁では、 β 、 μ が小さいほどその影響が大きくなる。

(2) 横方向プレストレッシングによる主桁のスパン中央の曲げモーメントについては、端横桁緊張材の偏心がない場合は弾性支承と剛支承の差は認められなかった。つぎに端横桁緊張材の偏心がある場合、主桁の曲げモーメントの値が偏心のない場合の値に対する増加率(減少率)は β 、 μ に関係なくかに拘して一定となりかが大きいほどその値が大きくなる。

(3) 横方向プレストレッシングによる主桁の支点反力は中間横桁のプレストレッシングの影響は非常に小さいので反力の大きさは β 、 μ にほどなく端横桁のプレストレス力と緊張材偏心距離との積 $P_e^0 \cdot \gamma$ とその値によってきまることがある。図へ5に示すように弾性支承上の主桁反力は非常に小さくなりかの影響の大きいことがわかる。

[参考文献]

- 1) 猪又 繁: プレストレスト・コンクリート格子桁橋の横方向プレストレッシングによる二次応力について, コンクリート工学, Vol. 17, No. 10, 1979-10
- 2) 道路橋支承便覧, 日本道路協会 1973-4



図へ5 主桁の支点反力にあよぼすγの影響